

تعیین تجربی ذبیری سطح سلول سرطانی HT29 با استفاده از میکروسکوپ نیروی اتمی در جهت کاربرد در نانومنیپولیشن*

(یادداشت پژوهشی)

معین طاهری^(۳)

هدیه بادکوبه هزاوه^(۲)

محرم حبیب نژاد کورایم^(۱)

چکیده در این مقاله ذبیری سطح سلول سرطانی HT29 با استفاده از تحلیل تصاویر توپوگرافی به دست آمده توسط میکروسکوپ نیروی اتمی تعیین شده است. بر مبنای نتایج آنالیز ذبیری انجام شده و معادلات تئوری ذبیری رابینوفیچ، شعاع متوسط بر جستگی‌های سطح نمونه و سطح مبنای تعیین شده است. این مقادیر در روابط مدل دینامیک منیپولیشن ذرات زیر وارد شده و مقادیر نیرو و زمان بحرانی منیپولیشن سلول‌ها شبیه‌سازی شده است. بر مبنای نتایج مدل غلتشی مدل غالب در شروع به حرکت سلول است و تحلیل بر مبنای مدل رابینوفیچ نسبت به مدل رامپ مقادیر نیرو و زمان بحرانی کمتری را پیش‌بینی می‌کند.

واژه‌های کلیدی ذبیری سطح؛ سلول سرطانی HT29؛ میکروسکوپ نیروی اتمی؛ نانومنیپولیشن.

Experimental Determination of HT29 Cancerous Cell Surface Roughness by Atomic Force Microscopy to be Applied in Nanomanipulation

M. Habibnejad Korayem

H. Badkoobeh Hezaveh

M. Taheri

Abstract In this paper, surface roughness of HT29 cancerous is determined using topography images obtained by Atomic Force Microscopy (AFM). The mean radii of cell and substrate surface asperities are determined, based on results of conducted roughness analysis and Rabinovich roughness theory. These values have been applied in the equations of rough particle nanomanipulation dynamic model and the amounts of critical force and time are simulated. Based on results, the rolling mode is the dominant dynamic mode at the onset of cells movement and the analysis based on rabinovich model predict lower amounts of critical force and time compared to Rumpf model based analysis.

Key Words Surface roughness; HT29 cancerous cell; Atomic Force Microscopy; Nanomanipulation.

★ تاریخ دریافت مقاله ۹۴/۸/۲۰ و تاریخ پذیرش آن ۹۴/۱۲/۱۲ می‌باشد.

(۱) استاد، قطب علمی مکانیک جامدات تجربی و دینامیک، دانشکده مهندسی مکانیک، دانشگاه علم و صنعت ایران، تهران.

(۲) کارشناسی ارشد، مهندسی مکانیک، دانشگاه علم و صنعت ایران، تهران.

(۳) نویسنده مسئول: استادیار، گروه مهندسی مکانیک، دانشکده فنی مهندسی، دانشگاه اراک. m-taheri@araku.ac.ir

مقدمه

یکی از مشخصه‌هایی که در شناسایی نانوذرات زیستی مورد استفاده قرار می‌گیرد، زبری سطح آنها می‌باشد. این مشخصه به عنوان یک شناسه بسیار جالب وضعیت سلامتی سلول مطرح می‌باشد [1]. زبری سطح غشای سلول‌ها قبل و بعد از فرآیندهای سطحی سلولی مانند ترکیب با آنتی بادی‌ها با تغییر در ترکیب شیمیایی غشای سلولی تغییر می‌کند. برای مثال افزایش زبری سطح غشای سلول نشان از ترکیب موفق سلول با آنتی بادی‌ها دارد. هم‌چنین بررسی زبری سطح سلول در یک دوره زمانی مشخص می‌تواند مشخص کننده اتصال یا ورود نانوذرات دارویی به غشای سلول هدف در فرآیندهای دریافت دارویی در ابعاد سلولی باشد. بنابراین آنالیز زبری سطح غشای سلول‌ها و دیگر نمونه‌های زیستی در بسیاری از تحقیقات پزشکی و دارویی کاربرد دارد [2].

وجود مجموعه متنوعی از زبری‌ها در ابعاد و اشکال مختلف بر روی سطح سلول‌ها و سایر ذرات بیولوژیکی نقش بسیار مهمی در برهم‌کنش‌های میان سلول – سلول و سلول – سطح مبنای ایفا می‌کند. وضعیت هندسی و زبری سطح نانوذرات و هم‌چنین سطح در تماس با آنها، در شرایط چسبندگی و تعییرشکل میان آنها نیز، تأثیر به سزایی دارد و بنابراین شرایط چسبندگی ذرات زیستی نیز در چگونگی انواع فرآیندهای سطحی مرتبط با آنها از جمله بیومپولیشن نمونه‌های زیستی، دارای اهمیت بسیار قابل توجهی است و منظور نمودن آن در بررسی‌ها و تحقیقات دقیق در این زمینه ضرورت می‌یابد. میکروسکوپ نیروی اتمی توانایی بررسی زبری سطح غشای سلولی را با جزئیات و دقت بالا و بدون آسیب رساندن به آن، فراهم می‌کند.

مگ و همکاران [3]، در پژوهشی بیان نمودند که تعییر شکل سلول‌ها نقش بسیار مهمی در بسیاری فرآیندهای سلولی ایفا می‌کند و چسبندگی بسیار بر این

امر تأثیرگذار است. سپس با اشاره به وابستگی چسبندگی میان سلول‌ها و سلول‌ها با سایر سطوح به زبری این سطوح در مقیاس کمتر از میکرون، روشی ساده و هدفمند برای مطالعه میکروگراف‌های الکترونی به منظور تعیین زبری سطح کانتور سلول‌ها، ارائه نمودند.

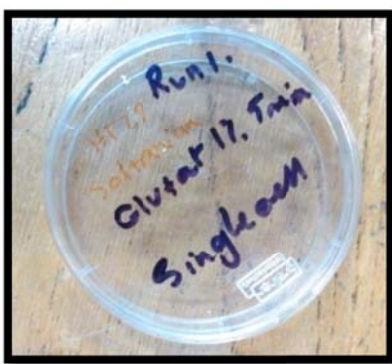
کاول-قانکار و همکاران [4] در تحقیقی به اندازه‌گیری‌های متفاوت توپوگرافی و مورفوژوژی سطح سلول‌ها از جمله سلول‌های تومور سرطان سینه با استفاده از میکروسکوپ نیروی اتمی (AFM) و میکروسکوپ روبش الکترونی (SEM) پرداختند. در قسمت نتایج این پژوهش بیان شده است که اندازه‌گیری‌های زبری نشان می‌دهد که با بالا رفتن مرحله پیشرفت سرطان (از مرحله ۱ تا مرحله ۳) زبری سطح سلول‌ها در مقایسه با بافت سالم و نرم‌مال آنها که دارای توپوگرافی سطح بسیار هموارتری می‌باشند، افزایش می‌یابد.

در تحقیق دیگری آنتونیو و همکاران [1]، اشاره نمودند که اندازه‌گیری‌های زبری با استفاده از AFM دارای وابستگی ابعادی می‌باشد؛ به این معنی که به پارامترهای اندازه‌گیری از جمله ناحیه اسکن شده و اندازه گام (step size) بسیار بستگی دارد. در این پژوهش اعلام شده که کاهش وابستگی ابعادی مقدار زبری با استفاده از تکنیک‌های فیلتر نمودن اطلاعات که در ابعاد نانو استاندارد نشده‌اند و به‌ویژه برای ذرات بیولوژیکی قابل انجام است. در این تحقیق محققان روش جدیدی بر مبنای تغییرات مقادیر برخی پارامترهای زبری سطح (مانند ریشه میانگین مربعات زبری (root mean square roughness) و کجی (skewness) (به عنوان تابع فیلتر فرکانس‌ها برای استفاده در جهت بهینه‌سازی فرآیند فیلتر نمودن داده‌ها در محاسبه زبری غشای سلولی معرفی نمودند. با استفاده از نتایج به کار گیری روش مذکور در این تحقیق، مقدار زبری سطح غشای سلول در قالب پارامتر ریشه میانگین مربعات زبری مستقل از شکل سلول،

برای پارامتر زبری سطح ریشه میانگین مربعات زبری و روابط تئوری چسبندگی زبری را بینویسچ، شاع متوسط بر جستگی های سطح نمونه سلول سرطانی و سطح مينا تخمین زده شده است. سپس مقادیر عددی شاع زبری ها در روابط مدل دینامیک فرآیند منیپولیشن با استفاده از AFM مورد استفاده قرار گرفته و مقادیر نیرو و زمان بحرانی منیپولیشن برای سلول سرطانی مورد مطالعه با در نظر گرفتن زبری حقیقی سطح این سلول، شبیه سازی شده است.

آماده سازی سلول سرطانی HT29 برای تصویربرداری با AFM

رده سلولی HT29 از بافت تومور سرطانی روده بزرگ انسان جداسازی شده است. این سلولها از بانک ملی سلول ایران (NCBI) واقع در مؤسسه پاستور ایران تهیه شده و در دمای 37°C ۹۵ درصد هوا و ۵ درصد (CO₂) در محیط RPMI-1640 (Sigma8758) تغذیه شده با ۵ درصد سرم جنین گاوی (Gibco) و ۱ درصد پنی سیلین (Gibco) نگهداری شده است. سپس به منظور تصویربرداری در محیط هوا، سلول های کشت شده بر روی سطح ثابت شده و در مدد غیر تماسی میکروسکوپ نیروی اتمی از آن تصویربرداری شد. شکل (۱) تصویر نمونه سلول سرطانی HT29 ثابت شده بر روی سطح ظرف نمونه را نشان می دهد.



شکل ۱ سلول سرطانی HT29 ثابت شده بر روی سطح ظرف نمونه

انحرافات ابعادی غشای سلول و شرایط و پارامترهای اندازه گیری به دست می آید.

از جمله دیگر فرآیندهای دینامیکی که بر روی سلولها و سایر ذرات بیولوژیکی با اهدافی از قبیل شناخت خواص دینامیکی ذرات بیولوژیکی، ساخت داروها، تحقیقات برهمکنش های میان پروتئین ها، ژن ها و سلول های زنده در محیط های فیزیولوژیکی انجام می گیرد، فرآیند نانومنیپولیشن با استفاده از AFM می باشد. یکی از انواع روش های منیپولیشن با استفاده از پروب AFM، منیپولیشن به روش راندن بر روی سطح است. در این روش پروب با ذره هدف تماس برقرار می کند و آن را پر روی سطح مينا می راند و با استفاده از تحلیل داده های دریافتی از فیدبک نیرو طی این فرآیند دینامیکی اطلاعات مفید مختلفی استخراج می شود و یا به این ترتیب جایه جایی هدفمند واحدهای میکرو/نانوذرات انجام می پذیرد. تاکنون تحقیقات زیادی پیرامون مدل سازی و چگونگی تأثیرگذاری پارامترهای مختلف محیطی و ابعادی ذره و سطح مينا بر دینامیک این فرآیند انجام شده است.

کورایم و ذاکری [5] بر مبنای اولین مدل دینامیکی ارائه شده برای این فرآیند با در نظر گرفتن نیروهای سطحی توسط سیتی و همکاران، با مطالعه دقیق تر این فرآیند مدلی به منظور آنالیز حساسیت پارامترهای نیرو و زمان بحرانی فرآیند منیپولیشن نسبت به سایر پارامترهای مستقل مؤثر بر فرآیند استخراج نمودند. در تحقیق دیگری کورایم و ذاکری [6] مدل دینامیک فرآیند راندن با استفاده از AFM برای میکرو/نانو ذرات کروی شکل بر روی سطح را با در نظر گرفتن زبری برای سطح مينا، توسعه دادند.

در این مقاله، ابتدا به طور مختصر به نحوه آماده سازی نمونه سلول سرطانی HT29 به منظور تصویربرداری با استفاده از AFM پرداخته شده است. سپس تصاویر توپوگرافی سطح به دست آمده با استفاده از میکروسکوپ نیروی اتمی از سطح سلول و سطح مينا تحلیل زبری شده و بر مبنای مقادیر به دست آمده

آمده از تصویربرداری AFM قابل استخراج است؛ راینویچ و همکارانش، معادله‌ای بین این پارامتر و شعاع برجستگی‌های زبری و همچنین ارتفاع زبری‌ها ارائه نمودند [7]. معادلات (۲-۴) به ترتیب معادله نیروی چسبندگی و معادلات بین پارامتر rms و شعاع برجستگی‌های زبری و همچنین ارتفاع زبری‌ها ارائه شده توسط راینویچ و همکاران [7, 12, 13] می‌باشد.

در معادلات سینماتیکی و دینامیکی مدل دینامیکی توسعه داده شده برای ذرات زبر، پارامتر شعاع برجستگی‌های سطح (شعاع و ارتفاع برجستگی در مدل توسعه داده شده بر مبنای مدل زبری راینویچ) وارد می‌شود [6]. بنابراین در بررسی منیپولیشن ذرات، با استخراج پارامتر زبری سطح rms از تصاویر گرفته شده از سطح ذرات با استفاده از AFM و با استفاده از معادله مذکور بین این پارامتر و شعاع و ارتفاع برجستگی‌های روی سطح ذره، شرایط واقعی زبری سطح ذره مانند سایر خصوصیات مکانیکی حقیقی ذره در شبیه‌سازی فرآیند منیپولیشن وارد می‌شوند. نتایج شبیه‌سازی‌های مذکور در بخش شبیه‌سازی ارائه شده‌اند.

$$F_{Rabin.}^{ad} = \frac{A_H}{6Z_0^2} \left(\frac{rR}{r+R} + \frac{R}{(1+y_{\max}/Z_0)^2} \right) \quad (2)$$

$$r = 1.485 \text{ rms} \quad (3)$$

$$y_{\max} = 1.82 \text{ rms} \quad (4)$$

که در این معادلات r و y_{\max} به ترتیب شعاع و ماکریم ارتفاع برجستگی‌های کروی شکل زبری، R ثابت هماکر و Z_0 فاصله شعاع ذره کروی، A_H می‌باشد. مقادیر پارامتر زبری rms با انتخاب مساحت برابر از سطح مبنای سطح سلول در تصاویر خام AFM با استفاده از منوی زبری نرم‌افزار rms محاسبه شد و استخراج گردید. نمونه تصویر به دست آمده از توپوگرافی سطح سلول و سطح مبنای استفاده از AFM در شکل (۲) نشان داده شده است.

آنالیز تجربی زبری سطح نمونه زیستی و سطح مبنای

در این قسمت با استفاده از نرم‌افزار DME به آنالیز زبری سطح نمونه سلول سلطانی تصویربرداری شده پرداخته شده است.

زبری سطوح حقیقی با استفاده از انحرافات یک پروفیل دوبعدی اندازه‌گیری شده (مقادیر ارتفاع (z) اندازه‌گیری شده برای یک سطح توسط میکروسکوپ نیروی اتمی) نسبت به یک سطح ایده‌آل، ارزیابی می‌شود. پارامترهای متفاوتی برای بیان زبری سطح عنوان شده و قابل اندازه‌گیری هستند. از جمله رایج‌ترین آنها در تحقیقات مختلف از نقطه نظر آماری شامل متوسط زبری (S_a)، ریشه میانگین مربعات زبری (S_q یا rms)، کجی زبری سطح ارزیابی شده (S_{sk})، تیزی (Kurtosis) پروفیل ارزیابی شده (S_{ku})، ارتفاع قله - قله (S_g و S_t و S_y) و S_v به صورت ماکریم عمق فرورفتگی‌های سطح یا همان دره‌ها و S_p ماکریم ارتفاع برآمدگی یا همان قله‌ها می‌باشد. از میان پارامترهای متفاوت مطرح شده، یکی از پرکاربردترین و مورد توجه‌ترین آنها، به موجب حساسیت بالای این پارامتر به انحرافات جداسده از پروفیل مبنای، پارامتر ریشه میانگین مربعات زبری (rms) می‌باشد، که معادله ارائه شده برای آن به صورت معادله (۱) می‌باشد [11].

$$R_{rms} = \sqrt{\frac{1}{m'} \sum_{i=1}^{m'} |Z_i|^2} \quad (1)$$

که m' تعداد نقاط داده‌ها و Z_i انحراف ارتفاع نقطه i ام از سطح میانگین تعريف شده به گونه‌ای که حاصل جمع حسابی تمامی ارتفاع‌ها برابر صفر می‌باشد. با هدف کاربردی‌تر کردن روابط قبلی مورد استفاده جهت محاسبه نیروی چسبندگی سطوح زبر و با توجه به آن که پارامتر زبری سطح rms از داده‌های تجربی به دست

شد. با وارد نمودن این مقادیر شرایط حقیقی سطح نمونه زیستی مدنظر برای منیپولیشن در شبیه‌سازی وارد می‌گردد.

$$r_{sub.} = 1.485 rms_{sub.} = 1.48 \times 87.3 \\ = 129.2(nm) \quad (5)$$

$$r_{cell} = 1.485 rms_{cell} = 1.48 \times 103.6 \\ = 153.3(nm) \quad (6)$$

$$y_{max, cell} = 1.82 rms_{cell} = \\ 1.82 \times 103.6 = 188.5(nm) \quad (7)$$

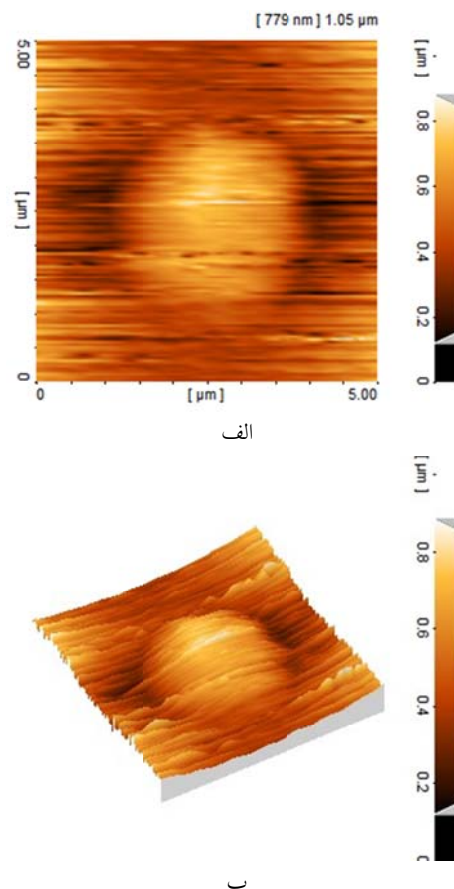
$$y_{max, sub.} = 1.82 rms_{sub.} = \\ 1.82 \times 87.3 = 158.9(nm) \quad (8)$$

مقادیر سایر پارامترهای زیری محاسبه شده از محدوده تصویر که مربوط به سطح سلول می‌باشد، به شرح زیر می‌باشد:

$$s_a = 87.34(nm) \quad s_{sk} = 0.7 \\ s_{ku} = 4.3 \quad s_y = 667.8(nm)$$

مدل دینامیک منیپولیشن میکرو/نانو ذرات

در این بخش به طور مختصر به توضیح مدل دینامیک منیپولیشن میکرو/نانو ذرات پرداخته شده است. در تحقیقات گذشته مدل دینامیکی فرآیند منیپولیشن به روش راندن با استفاده از AFM برای ذرات کروی و به‌طور محدودی برای ذرات دارای هندسه‌های غیرکروی مانند استوانه‌ای و در محیط‌های هوا و مایع ارائه شده است. هم‌چنین، شبیه‌سازی‌هایی در شرایط گوناگون ابعاد ذره، هم‌چنین در تحقیقات محدودی برای برخی ذرات زیستی هم‌چون دی‌ان‌ای و در محیط هوا، آب و برخی سیالات بیولوژیکی انجام شده است [8-10]. هم‌چنین با هدف هرچه نزدیک‌تر نمودن مدل به واقعیت و با توجه به تأثیر زیاد منظور نمودن زیری سطح در فرآیندهای دینامیکی شامل تأثیرات چسبندگی و در ابعاد نانو، کورایم و همکاران [6, 7] مدل دینامیک نانومنیپولیشن با استفاده از AFM را ابتدا



شکل ۲ تصویر توپوگرافی سطح سلول سرطانی HT29 و سطح مبنی (الف) دو بعدی و (ب) سه بعدی با استفاده از AFM در مد غیرتماسی

با بررسی تصاویر به دست آمده، هندسه سلول مورد بررسی با تقریب بسیار خوبی کروی دیده می‌شود و بنابراین در مراحل بعدی تحقیق مدل‌های مکانیک تماس مربوط به این هندسه در مدل دینامیکی و شبیه‌سازی استفاده شده است. هم‌چنین شاعع دقیق سلول با استفاده از نرم‌افزار DME ۱۵۸/۳ میکرومتر به دست آمد. سپس مقدار شاعع و ارتفاع برجستگی‌های سطح و سلول به ترتیب با استفاده از معادلات (۴) و (۳) به صورت معادلات (۵-۸) به دست می‌آیند. با توجه به آن که مقدار rms سطح در نواحی مختلف سطح با مقداری تفاوت به دست می‌آید، محاسبات زیری تعداد دفعاتی تکرار شد و میانگین مقادیر به دست آمده به عنوان rms تقریبی سطح به صورت زیر در نظر گرفته

هندسی مختلف مانند منظور نمودن زیری را نشان می‌دهد که ورودی آن شرایط اولیه و خروجی آن مقادیر عمق نفوذ می‌باشد. سپس این مقادیر خروجی علاوه بر شرایط اولیه به عنوان ورودی الگوریتم اصلی منیپولیشن وارد می‌شوند. بنابراین حل معادلات مربوط به این بخش مقدم بر حل معادلات الگوریتم اصلی منیپولیشن (سمت چپ شکل) می‌باشد. در الگوریتم اصلی محاسبه مقادیر نیرو و زمان بحرانی منیپولیشن نیز، پس از ارائه روابط سینماتیکی و با جایگزینی مشتقات مقادیر موقعیت افقی و عمودی پروب در معادلات نیوتون-اویلر معادلات دینامیکی فرآیند حاصل می‌شوند. در معادلات دینامیکی، F_Y ، F_Z و F_T به ترتیب مؤلفه‌های نیروی وارد بر ذره از طرف پروب یا بالعکس در راستای افقی و قائم و نیروی برآیند وارد بر ذره از طرف پروب می‌باشد. نیروی بحرانی F_{cr} و زمان بحرانی T_{cr} نیز نیروی برآیند و زمان در لحظه حرکت ذره، معادل مقدار F_T در لحظه غلبه بر نیروهای حدی F_s^* یا F_r^* است و تابعی از φ زاویه نیروی راندن ذره، μ ، τ ، و سطح تماس بین سوزن/ذره و ذره/صفحة مبنای A_b است و شروع حرکت ذره در هر مرد دینامیکی منوط به برقراری نامعادله مربوط به آن مدد خواهد بود. به این ترتیب که با استفاده از روابط، مقادیر نیروی بحرانی لغزشی و غلتشی محاسبه شده و با مقدار نیروی برآیند مقایسه می‌شوند. در شرایطی که مقدار نیروی برآیند بر مقدار نیروی بحرانی حرکت غلبه کند، منیپولیشن آغاز می‌گردد. هم‌چنین در این معادلات θ زاویه پیچش تیر مربوط به پروب در حین اعمال نیرو به ذره می‌باشد که برای استخراج موقعیت پروب در روابط سینماتیکی به کار می‌رود.

توضیح دقیق تر چگونگی توسعه مدل و استخراج روابط دینامیکی فرآیند با در نظر گرفتن زیری بر روی سطح مبنای سطح ذره به ترتیب در مراجع [6, 7] ارائه شده است.

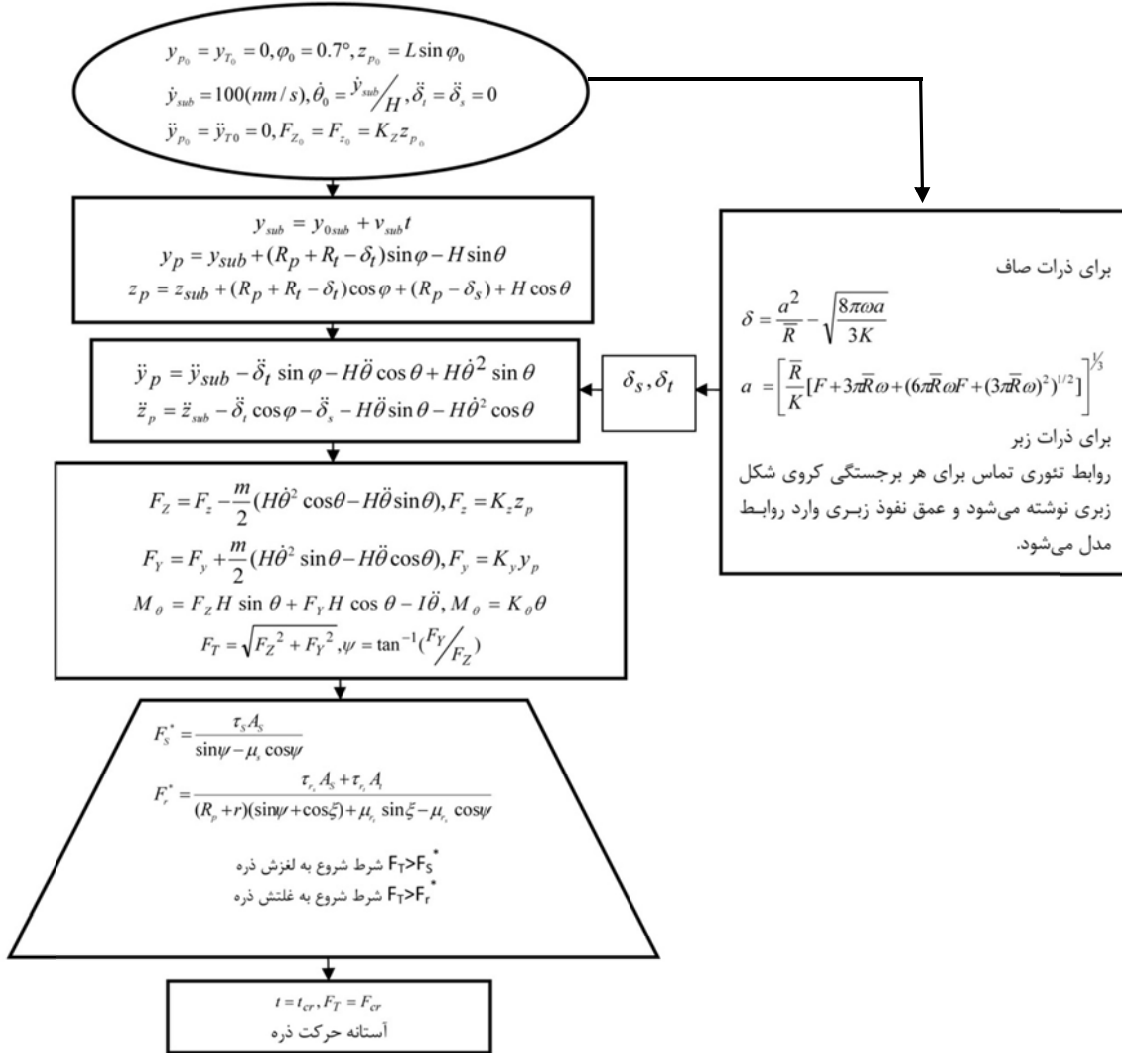
با در نظر گرفتن زیری سطح بر روی سطح مبنای سپس با در نظر گرفتن زیری بر روی سطح ذره هدف توسعه دادند.

منیپولیشن ذره به وسیله AFM، با شروع حرکت صفحه مبنای سطح با سرعت ثابت آغاز می‌شود که به موجب آن ذره چسبیده به آن نیز شروع به حرکت می‌نماید و در تماس با سوزن قرار می‌گیرد. در نتیجه این حرکت، نیروهای اعمالی بر ذره و عکس‌العمل آن بر رأس سوزن پروب شروع به افزایش می‌کنند که این نیروی عکس‌العملی موجب خمش و پیچش در کانتیلور می‌گردد. با افزایش تغییر شکل کانتیلور و نیروهای عکس‌العمل وارد بر ذره، ذره شروع به حرکت بر روی صفحه مبنای سطح می‌کند.

روابط مدل دینامیکی فرآیند راندن میکرو/نانوذرات با استفاده از پروب AFM، برای ذرات کروی و استوانه‌ای شکل دارای سطح ایده‌آل صاف و ذرات زیر، بر مبنای روابط ارائه شده در تحقیقات گذشته در قالب الگوریتم شکل (۳) ارائه شده است. در ادامه بر مبنای این الگوریتم شبیه‌سازی مقادیر نیرو و زمان بحرانی حرکت برای سلول سرطانی HT29 به عنوان ذره هدف در این فرآیند انجام شده است.

در معادلات ارائه شده در الگوریتم شکل (۳)، y_p و z_p موقعیت افقی و قائم پروب AFM و y_{sub} و v_{sub} به ترتیب موقعیت و سرعت حرکت سطح مبنای سوزن می‌باشند. H ارتفاع سوزن پروب و R_p و R_q نیز به ترتیب معرف شعاع ذره هدف و سوزن پروب که در تماس با ذره قرار می‌گیرد، می‌باشد. δ_b و δ_t به ترتیب تغییر شکل میان ذره - سطح مبنای سطح مبنای سوزن می‌باشند و از رابطه تغییر شکل تئوری تماسی JKR برای ذرات کروی و با جایگزینی شعاع تماس از رابطه ارائه شده در همین تئوری مطابق معادله ارائه شده در الگوریتم به دست می‌آید. هم‌چنین مقدار ω معرف کار چسبندگی معادل در محیط کاری مدد نظر است.

الگوریتم ارائه شده در شکل (۳) در حقیقت دو الگوریتم مرتبط با یکدیگر را شامل می‌شود. سمت راست شکل، شامل محاسبه عمق نفوذ ذره در شرایط



شکل ۳ الگوریتم مدل دینامیک منیپولیشن میکرو/نانوذرات استوانه‌ای زبر به وسیله AFM

ذره و سطح و بین ذره و سوزن و همچنین شرایط اولیه در شبیه‌سازی فرآیند مشابه اطلاعات ارائه شده در مرجع [7] استفاده شده است. سلول سرطانی هدف نیز با استفاده از آنالیز انجام شده در بخش قبل به صورت کره با شعاع $3/158$ میکرومتر فرض شده است. به منظور بررسی تأثیر در نظر گرفتن زبری برای میکرو/نانو ذرات هدف در فرآیند منیپولیشن، نتایج شبیه‌سازی مقادیر نیروی برآیند و نیروی بحرانی در فرآیند منیپولیشن، برای نانوذرات کروی HT29 به شعاع مقطع $3/158$ میکرومتر در دو حالت دارای سطح

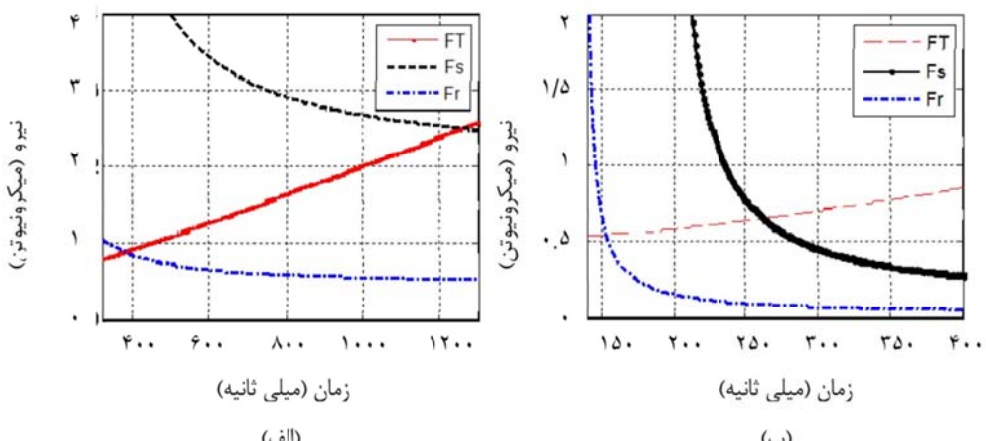
شبیه‌سازی نیرو و زمان بحرانی منیپولیشن سلول سرطانی HT29 با استفاده از AFM

در این بخش به شبیه‌سازی مقادیر نیرو و زمان بحرانی منیپولیشن سلول سرطانی HT29 به صورت ذرات کروی دارای سطح صاف ایده‌آل و با در نظر گرفتن زبری بر روی سطح ذره و سطح مبنای الگوریتم شکل (۳) پرداخته شده است.

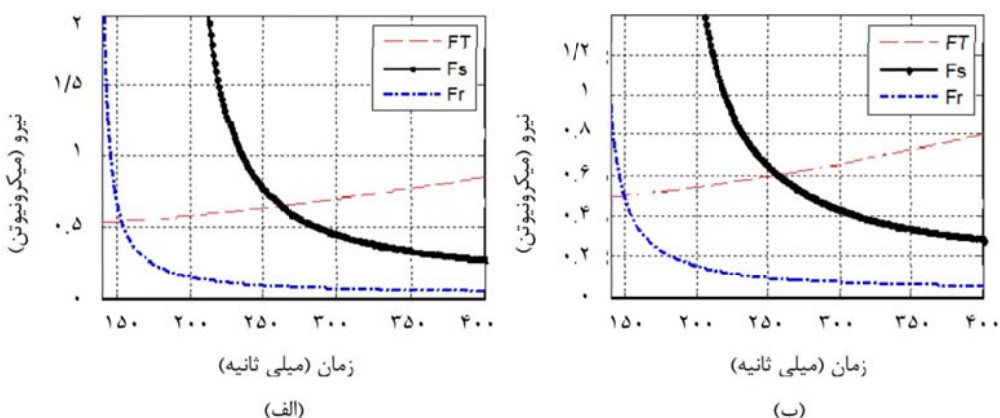
اطلاعات اصلی شامل مشخصات هندسی و خواص مکانیکی AFM و اطلاعات تریبوولوژیکی بین

و $(\mu N) / ۵۴ = F_{cr}$ قطع می‌کند. بنابراین با مقایسه این نتایج مشاهده می‌شود که در هر دو قسمت شکل (۴)، مقدار نیروی برآیند ابتدا به مقدار نیروی بحرانی غلتشی می‌رسد و بنابراین مد دینامیکی غالب در هنگام شروع حرکت ذره، مد غلتشی است. اما مقادیر نیروی بحرانی و زمان بحرانی شروع به حرکت ذره زیر کاهش چشم‌گیری را نسبت به این مقادیر برای شکل مربوط به ذره صاف نشان می‌دهند که این امر نشان‌دهنده کاهش چسبندگی در اثر درنظر گرفتن زیری سطح می‌باشد.

ایده‌آل صاف و سطح دارای زیری ریز به صورت برجستگی‌های کروی شکل به شعاع $۱۵۳/۳$ نانومتر (بر مبنای مدل رامپ)، در شکل (۴) ارائه شده است. همان‌طور که در شکل (۴) مشاهده می‌شود، در قسمت (الف)، نیروی برآیند نمودار نیروی بحرانی $F_{cr} = ۲/۵(\mu N)$ و $t_{cr} = ۱۶۰(ms)$ لغزشی را در (ms) و نمودار نیروی بحرانی غلتشی را در (ms) $۳۸۰(ms)$ قطع می‌کند و در قسمت (ب)، نیروی برآیند در (ms) $t_{cr} = ۲۶۲(ms)$ و $F_{cr} = ۰/۸۷(\mu N)$ نمودار نیروی بحرانی لغزشی و نمودار نیروی بحرانی غلتشی را در (ms) $t_{cr} = ۱۵۳(ms)$

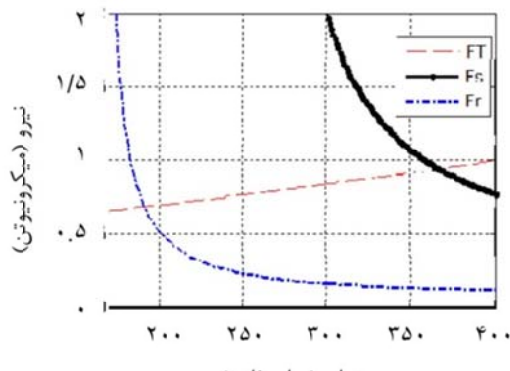


شکل ۴ مقادیر نیرو و زمان بحرانی منیولیشن سلول سلطانی 29 HT (الف) بدون در نظر گرفتن زیری بر روی سطح ذره مدل (ب) با در نظر گرفتن زیری بر روی سطح ذره بر مبنای مدل رامپ



شکل ۵ مقادیر نیرو و زمان بحرانی منیولیشن سلول سلطانی 29 HT با در نظر گرفتن زیری بر روی سطح ذره بر مبنای (الف) مدل رامپ و (ب) رایبنویج

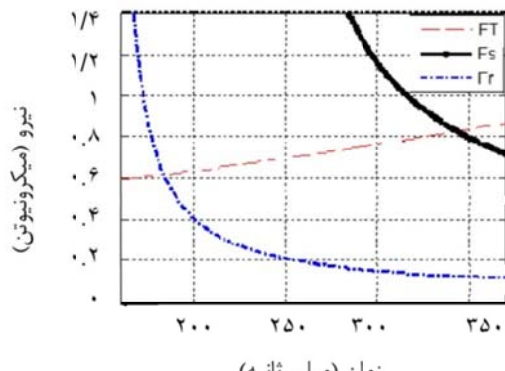
سطح مبنا به دست آمده در شبیه‌سازی‌ها با استفاده از مدل زبری رامپ در مدل لغزشی (ms) $t_{cr} = 337$ و $F_{cr} = 0.93 \mu N$ در مدل غلتاشی (μN) $t_{cr} = 191$ و $F_{cr} = 0.77 \mu N$ و با استفاده از مدل زبری رابینوویچ و در مدل لغزشی برابر با $t_{cr} = 343$ و $F_{cr} = 0.82 \mu N$ در مدل غلتاشی (μN) $t_{cr} = 184$ و $F_{cr} = 0.72 \mu N$ می‌باشدند. در نتایج به دست آمده در شکل‌های (۵) و (۶) نیز مقدار نیروی برآیند وارد بر ذره هدف توسط پروب در هر دو حالت شبیه‌سازی و با در نظر گرفتن زبری، ابتدا به مقدار نیروی بحرانی منیپولیشن در مدل غلتاشی و سپس به مقدار نیروی بحرانی لغزشی می‌رسد. به این ترتیب شروع به حرکت ذره با غلتاش ذره بر روی سطح مبنا تأیید می‌شود. همچنین مقادیر نیرو و زمان بحرانی منیپولیشن با در نظر گرفتن زبری بر مبنای مدل رابینوویچ کمتر از این مقادیر بر مبنای مدل رامپ به دست می‌آید. این امر با توجه به آنکه در مدل رابینوویچ علاوه بر تأثیر ارتفاع زبری‌ها، پهنای آنها نیز در توصیف از زبری در مقیاس نانو در نظر گرفته شده، قابل توجیه است.



(الف)

شکل (۵) مقادیر نیرو و زمان بحرانی منیپولیشن سلول سرطانی HT29 را با در نظر گرفتن زبری بر روی سطح ذره بر مبنای مدل زبری رامپ (الف) و رابینوویچ (ب) و با استفاده از مقادیر شعاع و ارتفاع برجستگی ذره، به دست آمده در بخش قبل نشان می‌دهد. بر مبنای نتایج شبیه‌سازی‌ها، مقادیر زمان و نیروی بحرانی منیپولیشن سلول سرطانی HT29 با در نظر گرفتن زبری بر روی سطح ذره هدف با استفاده از مدل زبری رامپ در مدل لغزشی و غلتاشی به ترتیب $F_{cr} = 0.72 \mu N$ و $t_{cr} = 184$ (ms) و $F_{cr} = 0.72 \mu N$ و $t_{cr} = 153$ (ms) و $F_{cr} = 0.54 \mu N$ و $t_{cr} = 262$ (ms) با به کارگیری مدل زبری رابینوویچ و در مدل لغزشی برابر با $F_{cr} = 0.77 \mu N$ و $t_{cr} = 191$ (ms) و در مدل غلتاشی $F_{cr} = 0.82 \mu N$ و $t_{cr} = 343$ (ms) به دست آمده است.

شکل (۶) نیز مقادیر نیرو و زمان بحرانی منیپولیشن سلول سرطانی HT29 با در نظر گرفتن زبری بر روی سطح مبنا، بر مبنای مدل زبری رامپ (الف) و رابینوویچ (ب) و با استفاده از مقادیر عددی زبری به دست آمده در بخش قبل برای سطح مبنا را نشان می‌دهند. مقادیر زمان و نیروی بحرانی منیپولیشن سلول سرطانی HT29 با در نظر گرفتن زبری بر روی



(ب)

شکل ۶ مقادیر نیرو و زمان بحرانی منیپولیشن سلول سرطانی HT29 با در نظر گرفتن زبری بر روی سطح مبنا بر مبنای (الف) مدل رامپ و (ب) رابینوویچ

این امر مطابق نتایج تحقیقات قبلی است که مد دینامیکی شروع به حرکت ذرات دارای ابعاد در حدود میکرو را مد غلتشی اعلام می‌کند.

مطابق نتایج به دست آمده در شبیه‌سازی‌ها، با منظور نمودن زبری سطح ریز برروی سطح نانوذرات کروی سلول سرطانی HT29 با شعاع مقطع ۱۵۸/۳ میکرومتر، مقادیر بحرانی نیرو و زمان در مد لغزشی منیپولیشن به ترتیب ۷۴٪ و ۷۹٪ در مد غلتشی به ترتیب ۳/۴۵٪ و ۵۹/۷٪ کاهش را نشان می‌دهد؛ که این امر نشانگر کاهش قابل ملاحظه نیروی چسبندگی به واسطه کاهش سطح تماس مؤثر در تماس میان ذره و سطح مبنا با منظور نمودن زبری سطح می‌باشد.

هم‌چنین اختلاف میان نیرو و زمان‌های بحرانی در دو مد دینامیکی لغزش و غلتش با منظور نمودن زبری سطح برای ذره کاهش می‌یابد و بیانگر این امر است که با افزایش زبری ذره، احتمال وقوع لغزش به جای غلتش افزایش می‌یابد.

هم‌چنین برمنای نتایج شبیه‌سازی‌های انجام شده در بخش قبل، مقادیر زمان و نیروی بحرانی منیپولیشن سلول سرطانی HT29 با در نظر گرفتن زبری برروی سطح ذره هدف و یا سطح مبنا با تحلیل زبری برمنای مدل راینوویچ ۸ درصد نسبت به مقادیر به دست آمده در این شرایط و با تعریف زبری برمنای مدل رامپ کمتر پیش‌بینی می‌شود. این امر نیز با توجه به دقیق‌تر بودن هندسه توصیف زبری در مدل زبری راینوویچ نسبت به مدل رامپ قابل توجیه است و بنابراین مقادیر دقیق‌تری را نتیجه می‌دهد.

بنابراین شرایط هندسی سطح میکرو/نانو ذره هدف از جمله هندسه زبری روی سطح آن در رفتار دینامیکی آن در فرآیند منیپولیشن و مقادیر نیرو و زمان بحرانی منیپولیشن، بسیار تأثیرگذار است و لحاظ نمودن این پارامترها در مدل دینامیکی دقیق فرآیند ضروری می‌باشد. برای دقیق‌تر نمودن مدل ارائه شده در این پژوهش می‌توان تأثیر زبری سوزن را نیز در

بحث و نتیجه‌گیری

قابلیت‌های ویژه میکروسکوپ نیروی اتمی در انجام وظایف مختلف هم‌چون جابه‌جایی و مومنتاژ در ابعاد میکرو و نانو با اهداف متفاوت و در شرایط محیطی مختلف خلا، هوا و محیط مایع بیولوژیکی و فیزیولوژیکی، منجر به رشد سریع کاربرد این دستگاه در حوزه‌های متفاوت تحقیق و صنعت شده است.

مدل‌سازی و شبیه‌سازی دینامیکی فرآیند راندن برروی سطح با استفاده از AFM، گام بسیار مهمی در شناخت و کنترل دقیق این فرآیند می‌باشد. چگونگی اجرای فرآیند منیپولیشن و کنترل دقیق آن برمنای شناخت تأثیر پارامترهای متفاوت مستقل فرآیند بر پارامترهای اساسی خروجی فرآیند که از جمله مهم‌ترین آنها نیرو و زمان بحرانی فرآیند می‌باشد، ممکن می‌شود. در این تحقیق به بررسی و شبیه‌سازی فرآیند منیپولیشن سلول سرطانی HT29 با استفاده از AFM پرداخته شده است. برای این منظور ابتدا آنالیز زبری سطح سلول سرطانی HT29 با استفاده از AFM انجام شده سپس با به کارگیری اطلاعات عددی زبری به دست آمده از تصاویر توپوگرافی سطح این سلول به شبیه‌سازی مقادیر نیرو و زمان بحرانی منیپولیشن بر این مبنای پرداخته شده است.

مقادیر عددی شعاع و ارتفاع زبری سطح طی آنالیز زبری انجام شده با استفاده از نرم‌افزار DME برای سطح سلول سرطانی HT29 به ترتیب ۱۵۳/۳ و ۱۸۸/۵ نانومتر و برای سطح مبنا نیز به ترتیب ۱۲۹/۲ و ۱۵۸/۹ نانومتر به دست آمد.

با توجه به مقادیر عددی نیرو و زمان بحرانی منیپولیشن به دست آمده در کلیه شبیه‌سازی‌ها، شروع به حرکت ذره در دو حالت در نظر گرفتن زبری بر روی سطح مبنا و سطح ذره و هم‌چنین بدون در نظر گرفتن زبری برای سطح ذره و سطح مبنا، در مد غلتشی و به عبارت دیگر با غلتش ذره برروی سطح مبنا می‌باشد.

| | | |
|---|--|--|
| ریشه میانگین مربعات زبری | Rms | مدل‌سازی وارد نمود و همچنین مدل‌سازی و |
| شعاع ذره کروی | R | شیبیه‌سازی‌ها را برای سلول سرطانی HT29 با |
| متوسط زبری | s _a | به کارگیری مدل تماسی اجسام نرم که برای این ذرات |
| کجی زبری سطح ارزیابی شده | s _{sk} | مناسب‌تر می‌باشد نیز انجام داد و با نتایج حاصل از |
| تیزی پروفیل ارزیابی شده | s _{ku} | به کارگیری سایر مدل‌های تماسی مقایسه نمود. |
| ارتفاع قله - قله زبری | s _z , s _t , s _y | همچنین می‌توان شیبیه‌سازی‌ها را برای ذرات از |
| ریشه میانگین مربعات زبری | s _q | جنس‌های دیگر و در محیط‌های کاری دیگر AFM نیز |
| ماکریم عمق فرورفتگی‌های سطح یا همان | s _v | انجام داد تا تأثیر این عوامل نیز در نظر گرفته شود. |
| دره‌ها | | |
| ماکریم ارتفاع برآمدگی یا همان قله‌ها | s _p | |
| ماکریم ارتفاع بر جستگی‌ها کروی شکل زبری | y _{max} | ثبت همکر A _H |
| فاصله‌ی جدایش | Z ₀ | تعداد نقاط داده‌ها m' |
| انحراف ارتفاع نقطه i ام از سطح میانگین | Z _i | شعاع بر جستگی‌های سطح r |

فهرست علامت

1. D Antonio, P., Lasalvia, M., Perna, G., & Capozzi, V., "Scale-independent roughness value of cell membranes studied by means of AFM technique", *Biochimica et Biophysica Acta (BBA)-Biomembranes*, Vol. 1818(12), pp. 3141-3148, (2012).
2. Guduru, R. "In situ AFM Imaging of Nanoparticle-Cellular Membrane Interaction for a Drug Delivery Study", Master of Science thesis in biomedical engineering. Florida International University, (2011).
3. Mege, J. L., Capo, C., Benoliel, A. M., Foa, C., Galindo, R., & Bongrand, P., "Quantification of cell surface roughness; a method for studying cell mechanical and adhesive properties", *Journal of theoretical biology*, Vol. 119(2), pp. 147-160, (1986).
4. Kaul-Ghanekar, R., Singh, S., Mamgain, H., Jalota-Badhwar, A., Paknikar, K. M., & Chattopadhyay, S., "Tumor suppressor protein SMAR1 modulates the roughness of cell surface: combined AFM and SEM study", *BMC Cancer*, Vol. 9(1), pp. 1-12, (2009).
5. Korayem, M.H. & Zakeri, M., "Sensitivity analysis of nanoparticles pushing critical conditions in 2-D controlled nanomanipulation based on AFM", *J Adv. Manuf. Technol*, Vol. 41, pp. 714-726, (2009).
6. Korayem, M.H. & Zakeri, M., "Dynamic modeling of manipulation of micro/nanoparticles on rough surfaces", *J Applied Surface Science*, Vol. 257(15), pp. 6503-6513, (2011).
7. Korayem, M.H., Badkoobeh Hezaveh, H. and Taheri, M., "Dynamic Modeling and Simulation of Rough Cylindrical Micro/Nanoparticle Manipulation with Atomic Force Microscopy", *Microscopy and Microanalysis*, Vol. 20 (6), pp. 1692-1707, (2014).

مراجع

8. Sitti, M. & Hashimoto, H., "Force controlled pushing of nanoparticles: Modeling and experiments", *In International Conference of Advanced Intelligent Mechatronics*, pp. 13-20, (1999) Sep 19, Atlanta, GA.
9. Korayem, M.H., Motaghi, A. and Zakeri, M., "Dynamic modeling of submerged nanoparticle pushing based on atomic force microscopy in liquid medium", *Journal of Nanoparticle Research*, Vol. 13(10), 5009-5019, (2011).
10. Korayem, M.H., and Geramizadeh, M., "DNA Manipulation in Biological Liquid Environment Based on Atomic Force Microscopy", *Nanoscience and Nanotechnology*, Vol. 2(4), 109-115, (2012).
11. Beach, E.R., Tormoen, G.W., Drelich, J. and Han, R., "Pull-off Force Measurements between Rough Surfaces by Atomic Force Microscopy", *Journal of Colloid and Interface Science* 247, pp. 84–99, (2002).
12. Rabinovich, Y.I., Adler, J.J., Ata, A., Singh, R.K. & Moudgil, B.M. (2000a). Adhesion between nanoscale rough surfaces: I. Role of asperity geometry. *J Colloid Interface Sci* 232, 10–16, (2000).
13. Rabinovich, Y.I., Adler, J.J., Ata, A., Singh, R.K. & Moudgil, B.M. (2000b). Adhesion between nanoscale rough surfaces: II. Measurement and comparison with theory. *J Colloid Interface Sci* 232, 17–24, (2000).